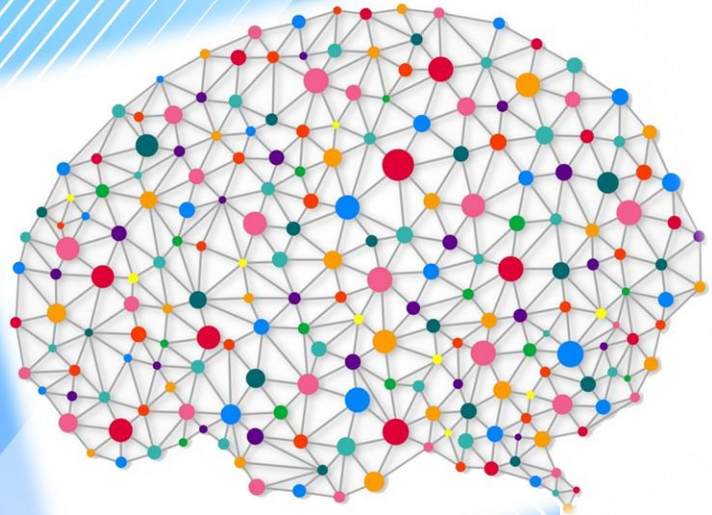


2 DE OCTUBRE DE 2019



PRÁCTICA 1: IMPLEMENTACIÓN DEL PERCEPTRÓN MULTICAPA

INTRODUCCIÓN A LOS MODELOS COMPUTACIONALES

ALBERTO LUQUE RIVAS

31018546X

I62LURIA@UCO.ES

GRADO EN INGENIERÍA INFORMÁTICA

COMPUTACIÓN

4º CURSO



UNIVERSIDAD DE CÓRDOBA

**ESCUELA POLITÉCNICA
SUPERIOR DE CÓRDOBA**
Universidad de Córdoba

**EP
SC**

Contenido

1. Introducción.....	2
2. Perceptrón multicapa.....	3
3. Pseudocódigo	4
4. Experimentos y análisis de resultados	8
4.1 Análisis dataset XOR.....	9
4.2 Análisis dataset PARKINSON	11
4.3 Análisis dataset QUAKE	14
4.4 Análisis dataset SIN.....	16
5. Análisis del modelo de red neuronal obtenido para el problema del XOR.....	18
6. Conclusiones.....	20
7. Índice de ilustraciones.....	21

1. Introducción

El trabajo que se va a realizar consiste en implementar el algoritmo de retro propagación para entrenar un perceptrón multicapa para un problema concreto. En este caso tenemos acceso a unas muestras de diferentes dataset usados, entre ellos:

- Dataset SIN
- Dataset Quake
- Dataset Parkinson
- Dataset XOR

Para ello, se desarrollará un programa capaz de realizar este entrenamiento, con distintas posibilidades en cuanto a la parametrización de este.

Este programa se utilizará para entrenar modelos que predigan, de la forma más correcta posible, la(s) variable(s) objetivo(s) del conjunto de bases de datos mencionadas anteriormente.

2. Perceptrón multicapa

La arquitectura de la red neuronal perceptrón multicapa se caracteriza porque sus neuronas están agrupadas en diferentes niveles o capas, donde cada una de ellas tienen sus propias neuronas. Este tipo de redes tiene tres niveles diferenciados, un nivel de entrada, los niveles intermedios que forman las capas ocultas y el nivel de salida.

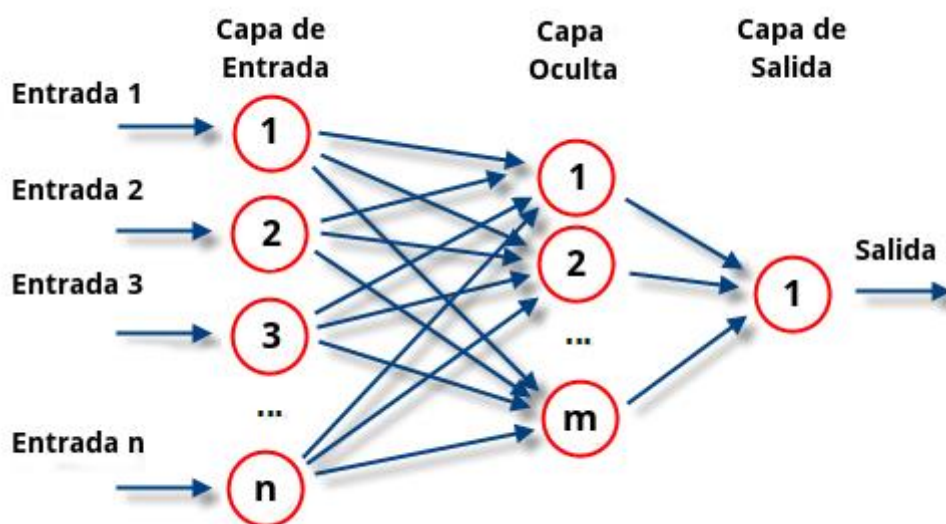


Ilustración 1 Ejemplo perceptrón multicapa con solo una capa oculta

Las neuronas de la entrada no funcionan exactamente como propias neuronas, estas únicamente se encargan de recibir una señal de activación y propagarla a las capas posteriores a través de los propios enlaces neuronales.

En esta red usada para la práctica, se utiliza un enlace completo entre neuronas y se establece un sesgo en las capas ocultas del modelo.

La función de activación usada en las neuronas ha sido la función sigmoide que se define con la siguiente notación matemática:

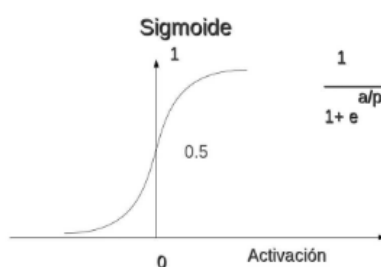


Ilustración 2 Función sigmoide de activación

Donde a/p se considera a toda la suma de enlaces entrantes a la neurona.

3. Pseudocódigo

Descripción en pseudocódigo de los pasos del algoritmo de retro propagación y de todas aquellas operaciones relevantes. El pseudocódigo deberá forzosamente reflejar la implementación y el desarrollo empleados.

Este pseudocódigo descrito en la **Ilustración 3** detalla el algoritmo on-line de la retropropagación en un perceptrón multicapa basados en bases de activación sigmoideal.

```
1 -----Algoritmo de retropropagacion-----
2 INICIO
3   iniciarPesosAleatorios()
4   REPETIR
5     PARA cada patron con entradas x, y salidas d
6       aplicarCambiosPatrones()
7       alimentarEntradas()
8       propagarEntradas()
9       retropropagarError()
10      acumularCambio()
11      ajustarPesos()
12    FIN PARA
13    HASTA(CondicionParada)
14 FIN
```

Ilustración 3 Pseudocódigo algoritmo de retro propagación del error

Este pseudocódigo descrito en la **Ilustración 4** se encarga de recorrer todas las capas con vectores de peso e inicializarlas con valores aleatorios [-1,1], la primera capa no se tiene en cuenta puesto que es la de entrada y en ella no existen vectores de pesos asociados por no tener conexiones previas con ninguna neurona.

```
1 ----- function iniciarPesosAleatorios() -----
2
3 INICIO
4
5   PARA i = 1 hasta numeroCapas HACER
6     PARA j = 0 hasta NeuronasCapa[i] HACER
7       PARA k = 0 hasta neuronasCapa[i-1]+Sesgo HACER
8
9         CAPA[i].NEURONAS[j].w[k] = aleatorio[-1,1];
10        CAPA[i].NEURONAS[j].wCopia[k] = aleatorio[-1,1];
11
12      FIN PARA
13    FIN PARA
14  FIN PARA
15
16 FIN
```

Ilustración 4 Pseudocódigo iniciar pesos aleatorios

Este pseudocódigo descrito en la **Ilustración 5** es el que se encarga de alimentar las entradas de la capa cero con un vector pasado por argumentos.

```

1 ----- function alimentarEntradas() -----
2
3 INICIO
4
5     input[]
6     PARA i = 0 hasta neuronasCapa[0] HACER
7         CAPA[0].NEURONA[i].x[k] = input[i]
8         CAPA[0].NEURONA[i].dX[k] = input[i]
9     FIN PARA
10
11 FIN

```

Ilustración 5 Pseudocódigo alimentar entradas

Este pseudocódigo descrito en la **Ilustración 6** es el encargado de calcular el valor de X de cada neurona, su funcionamiento es recorrer el vector de pesos propio de la neurona y multiplicar por el valor de la X de la neurona, y esto repetir por cada neurona de cada capo. Hay que tener en cuenta que las neuronas de entrada no tienen vector de pesos asociados y por ello se empieza en la capa oculta número uno.

```

1 ----- function propagarEntradas() -----
2
3 INICIO
4     ACUMULADOR = 0.0
5
6     PARA i = 1 hasta numeroCapas HACER
7         PARA j = 0 hasta NeuronasCapa[i] HACER
8             PARA k = 1 hasta neuronasCapa[i-1]+Sesgo HACER
9
10                ACUMULADOR = ACUMULADOR + (CAPA[i].NEURONAS[j].w[k] * (CAPA[i-1].NEURONAS[k-1].x)
11                CAPA[i].NEURONAS[j].wCopia[k] = aleatorio[-1,1];
12
13            FIN PARA
14
15            ACUMULADOR = ACUMULADOR + CAPA[i].NEURONAS[j].w[0]
16            CAPA[i].NEURONAS[j].x = (1/(1+exponente((-1)*ACUMULADOR)))
17            ACUMULADOR = 0.0
18
19        FIN PARA
20    FIN PARA
21
22 FIN

```

Ilustración 6 Pseudocódigo propagar entradas

Este pseudocódigo descrito en la **Ilustración 7** es el que se encarga de calcular la derivada de cada neurona en cada una de las capas. Recorre desde la penúltima capa hasta la primera.

```

1 ----- function retropropagarError() -----
2
3 INICIO
4
5 ACUMULADOR
6
7   PARA i = numeroCapas-2 hasta 0 HACER
8     PARA j = 0 hasta NeuronasCapa[i] HACER
9       PARA k = 0 hasta NeuronasCapa[i+1] HACER
10
11         ACUMULADOR = ACUMULADOR + ( CAPA[i+1].NEURONA[k].w[j+1] * CAPA[i+1].NEURONA[k].dX )
12
13       FIN PARA
14
15     CAPA[i].NEURONA[j].dX = ACUMULADOR * CAPA[i].NEURONA[j].x * (1-CAPA[i].NEURONA[j].x)
16
17   FIN PARA
18 FIN PARA
19
20
21 FIN

```

Ilustración 7 Pseudocódigo retro propagar error

Este pseudocódigo descrito en la **Ilustración 8** es el que se encarga de acumular el cambio que hay que aplicar en cada una de las neuronas para el ajuste de pesos nuevos.

```

1 ----- function acumularCambio() -----
2
3 INICIO
4
5   PARA i = 1 hasta numeroCapas HACER
6     PARA j = 0 hasta NeuronasCapa[i] HACER
7       PARA k = 1 hasta NeuronasCapa[i-1]+1 HACER
8
9         CAPA[i].NEURONA[j].deltaw[k] += CAPA[i].NEURONA[j].dX * CAPA[i-1].NEURONA[k-1].x;
10
11       FIN PARA
12
13     CAPA[i].NEURONA[j].deltaw[0] += CAPA[i].NEURONA[j].dX;
14   FIN PARA
15 FIN PARA
16
17 FIN

```

Ilustración 8 Pseudocódigo acumular cambio

Este pseudocódigo descrito en la **Ilustración 9** es el que se encarga de aplicar los cambios en bases a los factores pasados por argumento (MOMENTO, ETA) y el cambio acumulado realizado en la **Ilustración 8**. Este algoritmo va recorriendo todas las capas y todas las neuronas aplicando el cambio en cada uno de sus pesos basados en el calculo del cambio a aplicar.

```
1
2
3 ----- function ajustarPesos() -----
4
5 INICIO
6     DELTA_W, ULTIMODELTA_W, ETA
7
8     PARA i = 1 hasta numeroCapas HACER
9         PARA j = 0 hasta NeuronasCapa[i] HACER
10             ETA = ETA_CLASE * POTENCIA(DECREMENTO_CLAE, -(numeroCAPAS-1-i));
11
12             PARA k = 1 hasta NeuronasCapa[i-1]+1 HACER
13                 DELTA_W = CAPA[i].NEURONA[j].deltaW[k];
14
15                 ULTIMODELTA_W = CAPA[i].NEURONA[j].ultimoDeltaW[k]
16
17                 CAPA[i].NEURONA[j].w[k] = CAPA[i].NEURONA[j].w[k] - ( ETA * DELTA_W + FACTOMOMENTO_CLASE * ETA * ULTIMODELTA_W )
18
19                 CAPA[i].NEURONA[j].ultimoDeltaW[k] = CAPA[i].NEURONA[j].deltaW[k];
20
21             FIN PARA
22         FIN PARA
23
24 FIN
25
26
```

Ilustración 9 Pseudocódigo ajustar pesos

4. Experimentos y análisis de resultados

En los experimentos usados hemos tenido acceso a cuatro bases de datos cada una de las con su archivo de test y de train correspondiente al dataset. Las bases de datos usadas han sido:

- **Base de datos XOR:** esta base de datos representa el problema de clasificación no lineal del XOR. Mismo fichero para train y para test.
- **Base de datos SIN:** esta base de datos está compuesta por 120 patrones de train y 41 patrones de test. Ha sido obtenida añadiendo cierto ruido aleatorio a la función seno.
- **Base de datos Parkinson:** esta base de datos está compuesta por 4406 patrones de train y 1469 patrones de test. Contiene, como entradas o variables independientes, una serie de datos clínicos de pacientes con la enfermedad de Parkinson y datos de medidas biométricas de la voz, y, como salidas o variables dependientes, el valor motor y total del UPDRS.
- **Base de datos Quake:** esta base de datos está compuesta por 1633 patrones de train y 546 patrones de test. Se corresponde con una base de datos en la que el objetivo es averiguar la fuerza de un terremoto (medida en escala sismológica de Richter). Como variables de entrada, utilizamos la profundidad focal, la latitud en la que se produce y la longitud.

Para cada una de los datasets mencionados previamente las pruebas realizadas han sido con una y dos capas ocultas, donde el número de nodos en cada una de las capas usadas han sido dos, cuatro, ocho, dieciséis, treinta y dos, sesenta y cuatro, cien.

Como base de experimentación el valor elegido para el número de iteraciones ha sido mil, donde más adelante se explicará que con algunas configuraciones del perceptrón este es capaz de llegar a una buena solución con muchas menos iteraciones.

Para la prueba más fructífera de cada dataset se han realizado pruebas adicionales variando los factores de decremento y de validación, los valores de decremento usados han sido uno y dos, los factores de validación han sido cero coma quince y cero coma veinte cinco.

El total de pruebas de cada dataset han sido dieciocho pruebas excepto para el dataset de XOR que han sido doce, por lo que en su totalidad se han realizado sesenta y seis pruebas.

Para cada una de las pruebas de cada uno de los dataset se han recogido los valores de:

MEDIA TRAIN
DESVIACION TRAIN
MEDIA TEST
DESVIACION TEST
ERROR TEST FINAL

Donde el ERROR TEST FINAL simboliza el error final de la prueba realizada y no del conjunto de test. Este error final junto a los otros parámetros han sido observados para decidir que personalización del perceptrón multicapa ha sido la mas eficiente a la hora de entrenar y generalizar correctamente, la configuración elegida ha sido sometida a variantes del factor de validación y del factor del decremento para ver si mejora respecto a las pruebas normales sin estos parámetros.

Se han analizado graficas de la mejorar configuración por cada de cada dataset y también de esa mejor configuración con los mejores parámetros de validación y decremento.

4.1 Análisis dataset XOR

Los resultados obtenidos son los mostrados en la **Ilustración 10**, esta prueba la única que no se ha usado conjunto de validación y también en la cual se ha usado el mismo fichero de entrada para test y para train.

XOR

Una capa oculta	NODOS EN CAPA OCULTA	2	4	8	32	64	100
	MEDIA TRAIN	0,0759759	0,000657814	0,000456481	0,000494539	0,00222111	0,100185
	DESVIACION TRAIN	0,111313	0,000403475	0,000104936	0,000655406	0,00128773	0,136785
	MEDIA TEST	0,0759759	0,000657814	0,000456481	0,000494539	0,00222111	0,100185
	DESVIACION TEST	0,111313	0,000403475	0,000104936	0,000655406	0,00128773	0,136785
	ERROR TEST FINAL	0,0759759	0,000657814	0,000456481	0,000494539	0,00222111	0,100185
	BEST						
Dos capas oculta	NODOS EN CADA CAPA OCULTA	2	4	8	32	64	100
	MEDIA TRAIN	0,10908	0,0254003	0,000225694	0,000907581	0,00202127	0,10009
	DESVIACION TRAIN	0,0632923	0,0561263	0,000145121	0,00130988	0,00436372	0,223032
	MEDIA TEST	0,10908	0,0254003	0,000225694	0,000907581	0,00202127	0,10009
	DESVIACION TEST	0,0632923	0,0561263	0,000145121	0,00130988	0,00436372	0,223032
	ERROR TEST FINAL	0,10908	0,0254003	0,000225694	0,000907581	0,00202127	0,10009
	BEST						
Eleccion Mejor Configuracion		Una Capa	Una Capa	Dos Capas	Una Capa	Dos Capas	Dos Capas

Mejor Arquitectura 8 nodos y dos capas ocultas

Columna1	Columna2	Columna3
DECREMENTO	1	2
VALIDACION	0	0
MEDIA TRAIN	0,000225694	0,00095889
DESVIACION TRAIN	0,000145121	0,00127658
MEDIA TEST	0,000225694	0,00095889
DESVIACION TEST	0,000145121	0,00127658
ERROR TEST FINAL	0,000225694	0,00095889
BEST		

Ilustración 10 Datos del dataset XOR

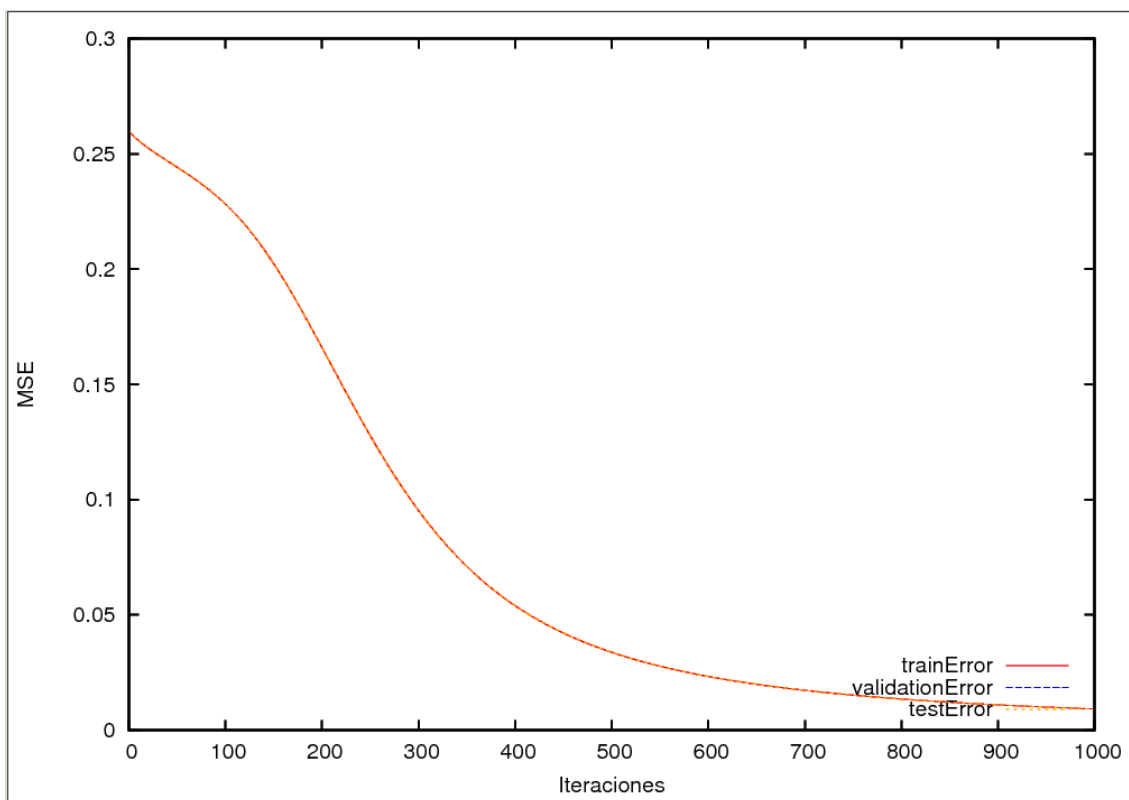


Ilustración 11 Dataset XOR con 1 capa oculta de 8 nodos en 1000 iteraciones.

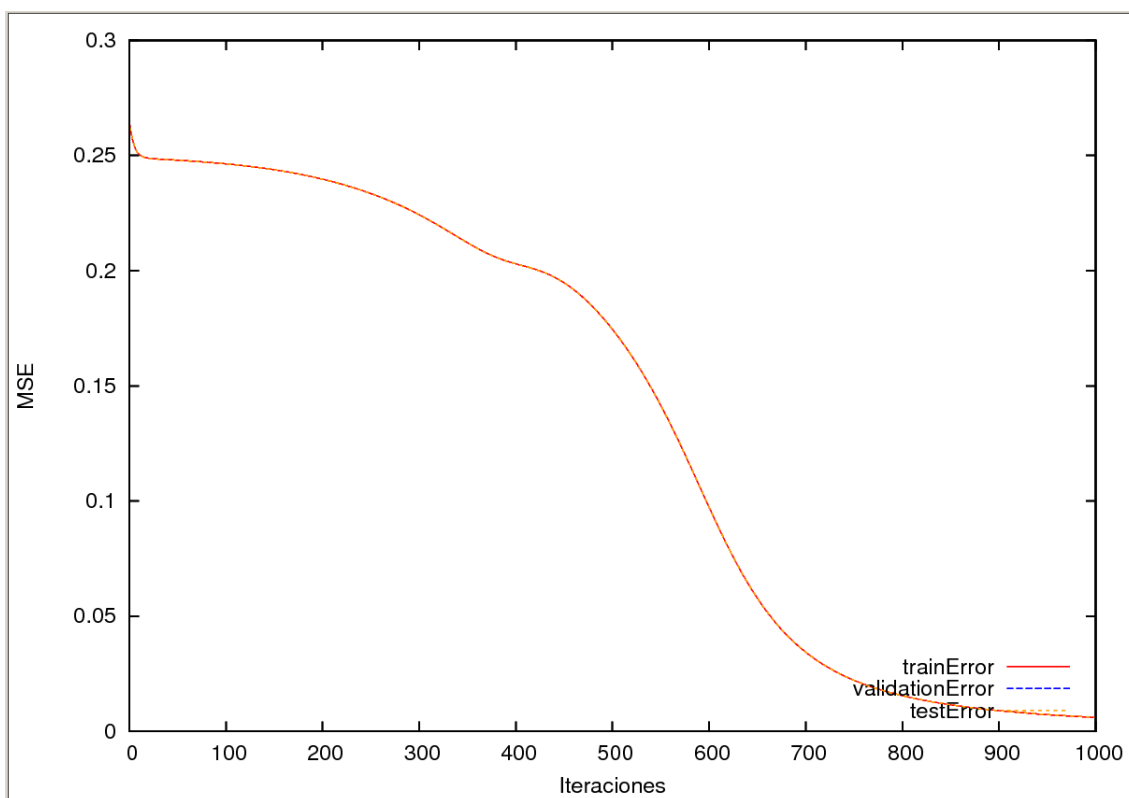


Ilustración 12 Dataset XOR con 2 capas oculta de 8 nodos en 1000 iteraciones.

Como se observa en la **Ilustración 11** el error empieza a decrecer muy rápidamente a partir de las aproximadamente 150 iteraciones mientras que en la **Ilustración 12** este efecto se observa más tardío alrededor de las 550 iteraciones, por lo que se demuestra una mejor configuración en este problema con una sola capa y ocho neuronas.

4.2 Análisis dataset PARKINSON

Los resultados obtenidos son los mostrados en la **Ilustración 13**, en esta prueba si se han usado ficheros independientes del dataset para test y para train, también hemos usado los parámetros de decremento y validación para el estudio.

PARKINSON

Una capa oculta

NODOS EN CAPA OCULTA	2	4	8	32	64	100
MEDIA TRAIN	0,0393115	0,0325492	0,0308147	0,0276876	0,0279675	0,0315576
DESVIACION TRAIN	0,00283775	0,00166972	0,00145575	0,00121222	0,00196581	0,0033685
MEDIA TEST	0,0400353	0,0319507	0,0306483	0,0283678	0,0282454	0,0314655
DESVIACION TEST	0,00203385	0,00180165	0,00230891	0,000779106	0,00169639	0,00373695
MEDIA ERROR FINAL	0,0396734	0,03224995	0,0307315	0,0280277	0,02810645	0,03151155
BEST						
NODOS EN CADA CAPA OCULTA	2	4	8	32	64	100
MEDIA TRAIN	0,0423804	0,0420782	0,0296265	0,0299916	0,0340655	0,0333846
DESVIACION TRAIN	0,0072624	0,0123791	0,00281244	0,0035791	0,00309537	0,0035137
MEDIA TEST	0,0427163	0,0412104	0,0290766	0,0303737	0,0337089	0,0332808
DESVIACION TEST	0,00625219	0,0124519	0,00289033	0,00394686	0,00339587	0,00478824
MEDIA ERROR FINAL	0,04254835	0,0416443	0,02935155	0,03018265	0,0338872	0,0333327
BEST						

Dos capas oculta

Una Capa		Una Capa	Dos Capas	Una Capa	Una Capa	Una Capa
----------	--	----------	-----------	----------	----------	----------

Eleccion Mejor Configuracion

Mejor Arquitectura 32 nodos y 1 capas ocultas

Columna1	Columna2	Columna3	Columna4	Columna5	Columna6	Columna7
DECREMENTO	1	2	1	2	1	2
VALIDACION	0	0	0,15	0,15	0,25	0,25
MEDIA TRAIN	0,0276876	0,0205064	0,0192067	0,0228308	0,0192002	0,0228012
DESVIACION TRAIN	0,00121222	0,007034	0,00756376	0,00366642	0,00935658	0,00486227
MEDIA TEST	0,0283678	0,0212115	0,0192414	0,0213077	0,0207065	0,0235099
DESVIACION TEST	0,000779106	0,00591349	0,00708014	0,0060788	0,00940481	0,00710633
MEDIA ERROR FINAL	0,0280277	0,02085895	0,01922405	0,02206925	0,01995335	0,02315555
Corta a a pocas Iteraciones	No	No	Si	Si	Si	Si
BEST						

Ilustración 13 Datos del dataset PARKINSON

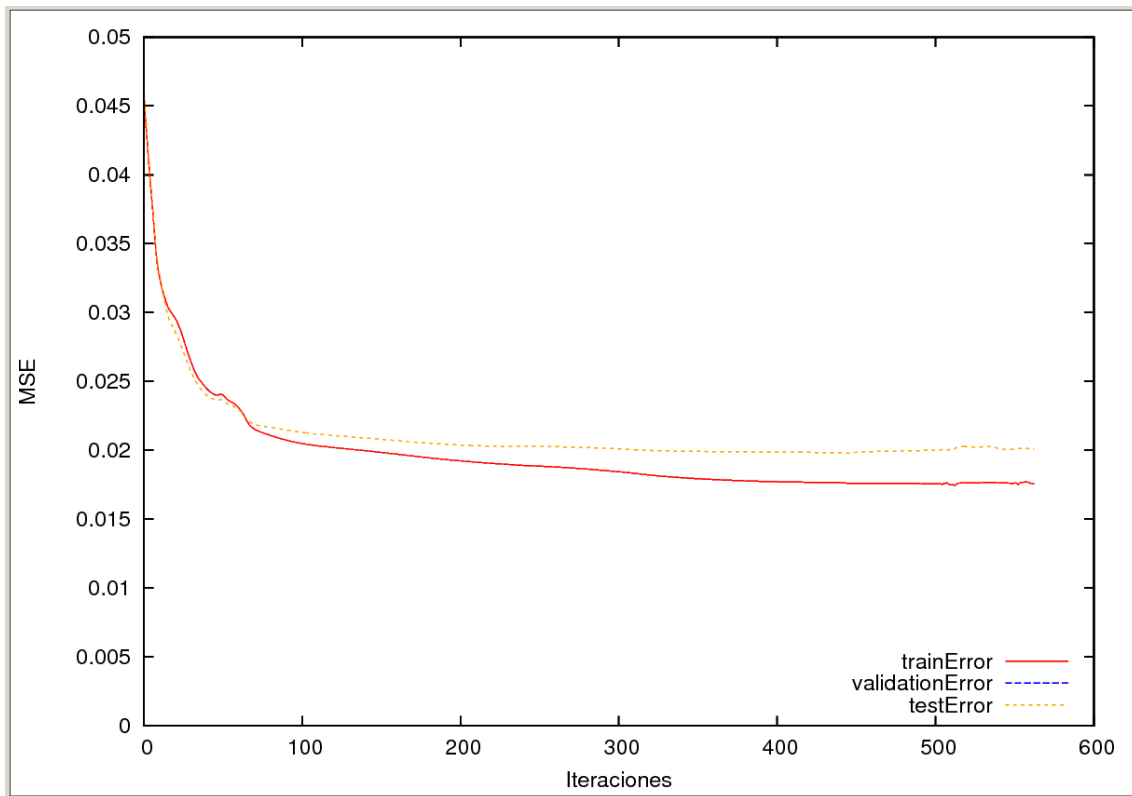


Ilustración 14 Dataset PARKINSON con 1 capa oculta de 32 nodos en 1000 iteraciones.

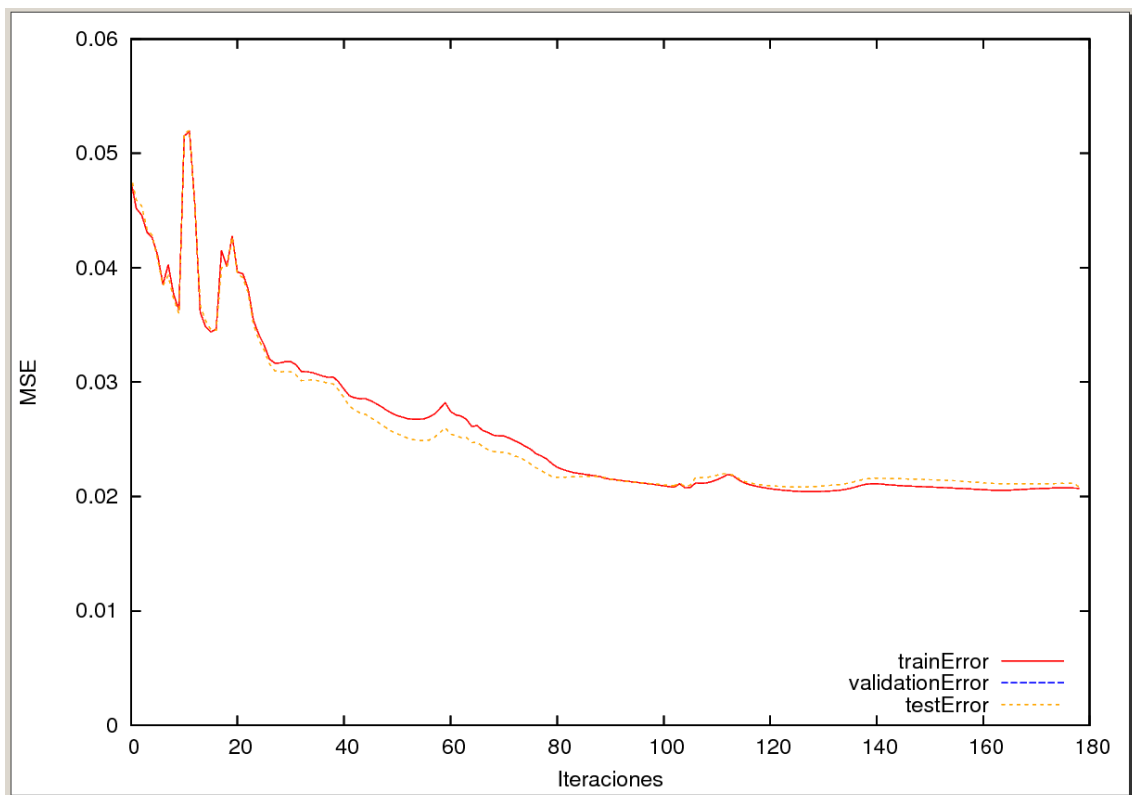


Ilustración 15 Dataset PARKINSON con 2 capas ocultas de 8 nodos en 1000 iteraciones.

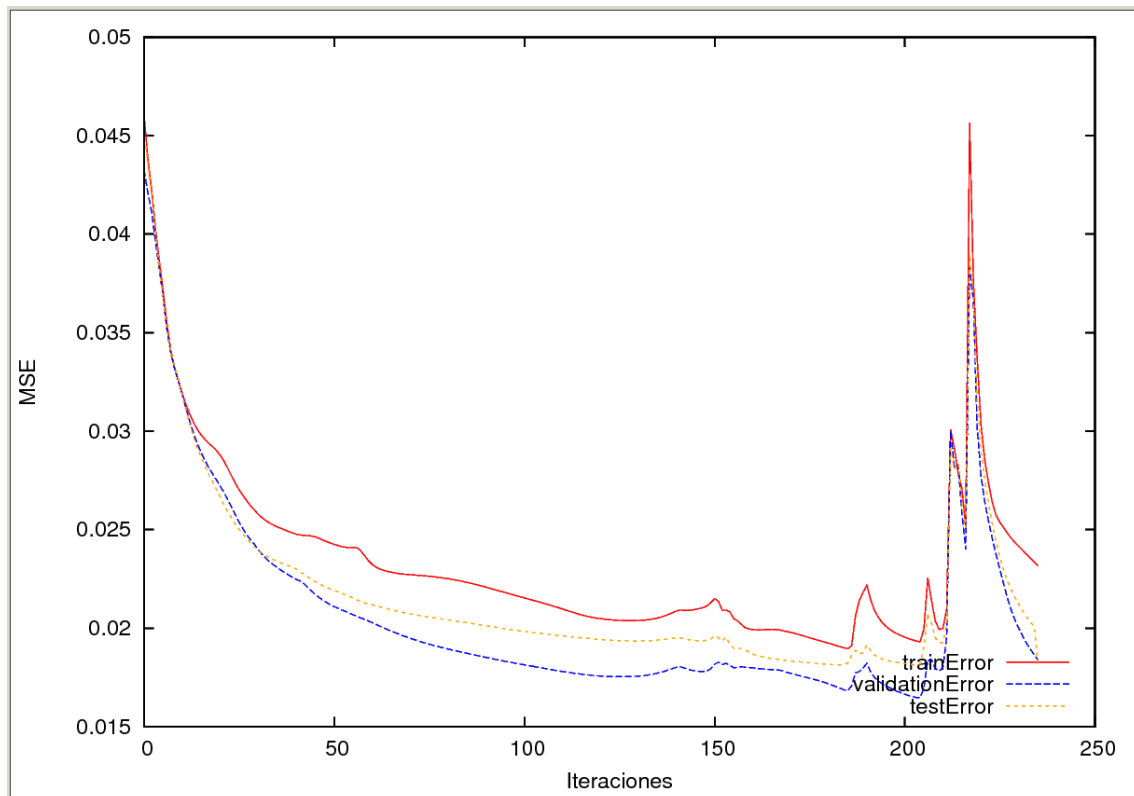


Ilustración 16 Dataset PARKINSON con 1 capa oculta de 32 nodos con 0.15 de validación en 1000 iteraciones

El resultado viendo las **Ilustraciones 15 y 14** son parejos en cuanto a convergencia, pero no en iteraciones en la **Ilustración 14** se observa que alrededor de 70 iteraciones ya encontró un punto de convergencia al igual que en la **Ilustración 15**, excepto que en la Ilustración 15 el algoritmo ha sido capaz de detenerse antes de seguir iterando puesto que las futuras iteraciones no estaban dando mejores resultados y a consecuencia de ello el coste computacional es mas bajo.

En la **Ilustración 16** en la cual se ha usado como valor de validación 0.15 se observa que en torno a las 100 iteraciones se encuentra el mejor valor del algoritmo, sobre las 200 iteraciones el valor de validación y su no mejora hace que el algoritmo no supere las 240 iteraciones. Los parámetros usados en la **Ilustración 16** han mejorado el error final del conjunto como se observa en la **Ilustración 13**, no es una mejora muy apreciable y habría que ver si es conveniente en otros problemas elegir una u otra configuración pues puede que calcular iteraciones de algún otro problema de entrada sea muy costoso en unidades de tiempo y no sea rentable esas iteraciones de mas para una mejora inapreciable.

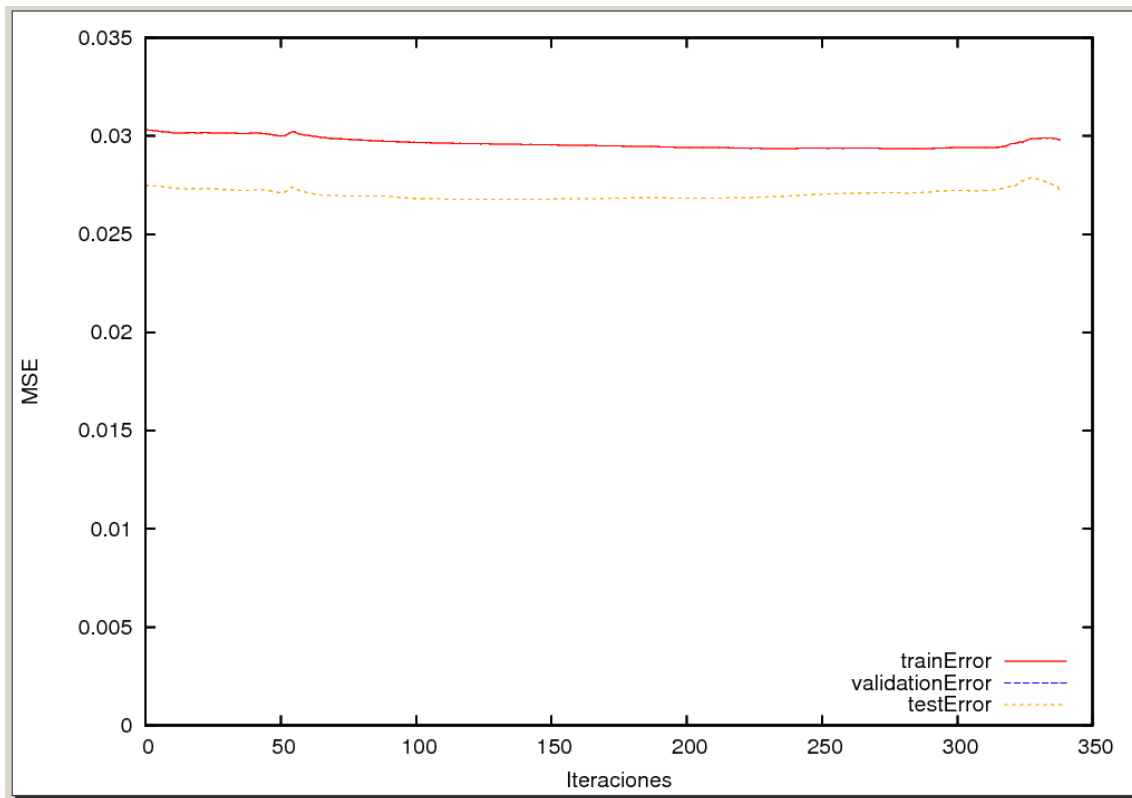


Ilustración 19 Dataset QUAKE con 2 capas ocultas de 64 nodos en 1000 iteraciones.

Se observa las **Ilustraciones 18 y 19** que la convergencia es inmediata pero el error mínimo que acepta el algoritmo para parar no es conseguido hasta las 900 iteraciones en el caso de la **Ilustración 18** y las 350 iteraciones en el caso de la **Ilustración 19**. Hay que valorar que configuración es mejor usar porque, aunque en la **Ilustración 19** el algoritmo para en 250 iteraciones se han usado 2 capas ocultas de 64 nodos lo cual el coste en tiempo y recursos se ha disparado comparado con la ejecución de la Ilustración 18.

En este dataset no se han conseguido mejorar los resultados finales mediante los valores de decremento ni de validación, aunque con algunas de las configuraciones si ha sido posible bajar hasta las doscientas iteraciones en el caso de 2 capas ocultas y 64 nodos.

En ninguna configuración de los valores de decremento y validación se han bajado de las 350 iteraciones.

Entre las **Ilustraciones 18 y 19** no es una mejora muy apreciable y habría que ver si es conveniente en otros problemas elegir una u otra configuración pues puede que calcular iteraciones de algún otro problema de entrada sea muy costoso en unidades de tiempo y no sea rentable esas iteraciones de más para una mejora inapreciable.

4.4 Análisis dataset SIN

los resultados obtenidos son los mostrados en la **Ilustración 20**, en esta prueba si se han usado ficheros independientes del dataset para test y para train, también hemos usado los parámetros de decremento y validación para el estudio.

SIN

Una capa oculta	NODOS EN CAPA OCULTA	2	4	8	32	64	100
	MEDIA TRAIN	0,0296689	0,0286838	0,0289589	0,026555	0,0253582	0,0276844
	DESVIACION TRAIN	0,0000235	0,00218898	0,00150444	0,00689316	0,00234843	0,00175766
	MEDIA TEST	0,0365665	0,036462	0,0366519	0,0334969	0,0338754	0,0360419
	DESVIACION TEST	0,000188859	0,000267259	0,000437483	0,00750741	0,00339288	0,000904961
	MEDIA ERROR FINAL	0,0331177	0,0325729	0,0328054	0,03002595	0,0296168	0,03186315
Dos capas oculta	BEST						
	NODOS EN CADA CAPA OCULTA	2	4	8	32	64	100
	MEDIA TRAIN	0,0286657	0,0294179	0,0268424	0,0154342	0,0227473	0,0212404
	DESVIACION TRAIN	0,00226392	0,000534104	0,00402598	0,00298559	0,00688056	0,00906179
	MEDIA TEST	0,0361419	0,0367761	0,0343361	0,0220148	0,00688056	0,0294236
	DESVIACION TEST	0,000571112	0,000651749	0,00321609	0,00395507	0,00625529	0,00903105
BEST							
Eleccion Mejor Configuracion		Dos Capas	Una Capa	Dos Capas	Dos Capas	Dos Capas	Dos Capas
Mejor Arquitectura 64 nodos y dos capas ocultas							
Columna1	Columna2	Columna3	Columna4	Columna5	Columna6	Columna7	
DECREMENTO	1	2	1	2	1	2	
VALIDACION	0	0	0,15	0,15	0,25	0,25	
MEDIA TRAIN	0,0227473	0,0276747	0,0296349	0,0294568	0,0295992	0,0292895	
DESVIACION TRAIN	0,00688056	0,00275338	0,000106876	0,000513246	0,000180736	0,00086103	
MEDIA TEST	0,00688056	0,0353066	0,0362461	0,0364677	0,0365001	0,0363541	
DESVIACION TEST	0,00625529	0,00146765	0,000325705	0,000878271	0,000779899	0,0005062	
MEDIA ERROR FINAL	0,01481393	0,0629813	0,065881	0,0659245	0,0660993	0,0656436	
Corta a pocas Iteraciones	No	No	Si	Si	Si	Si	
BEST							

Ilustración 20 Datos del dataset SIN

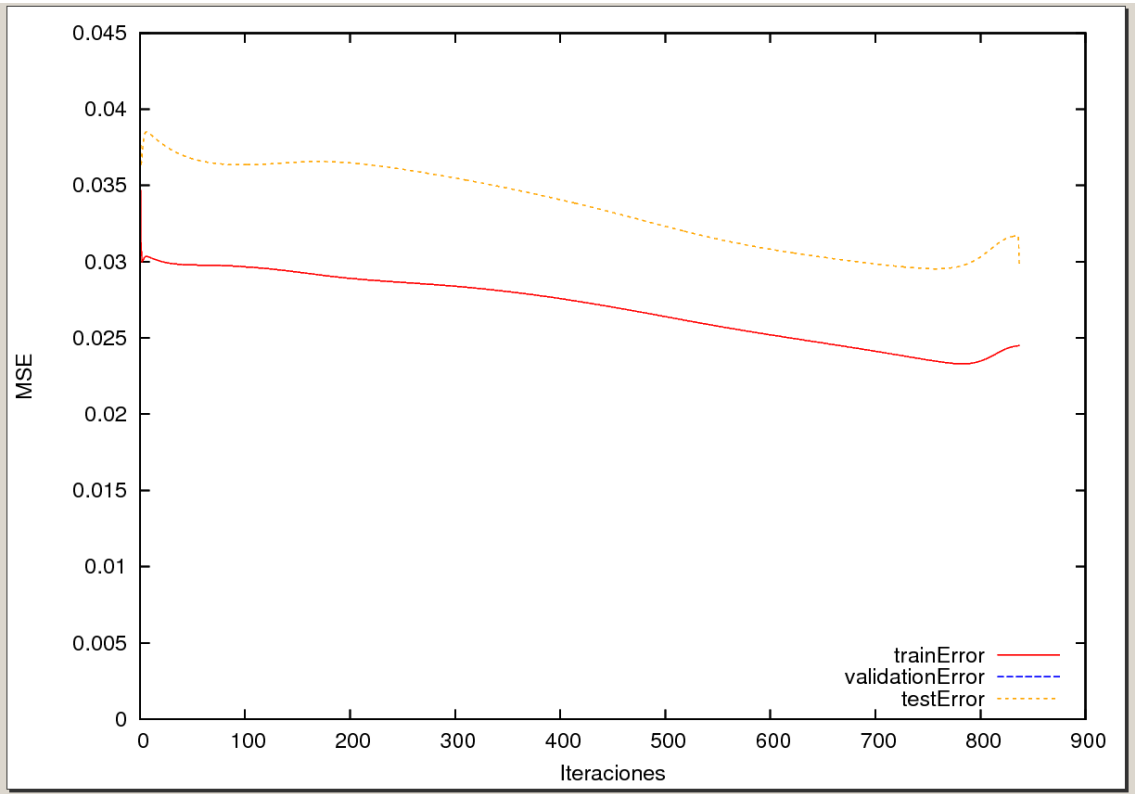


Ilustración 21 Dataset SIN con 1 capa oculta de 64 nodos en 1000 iteraciones.

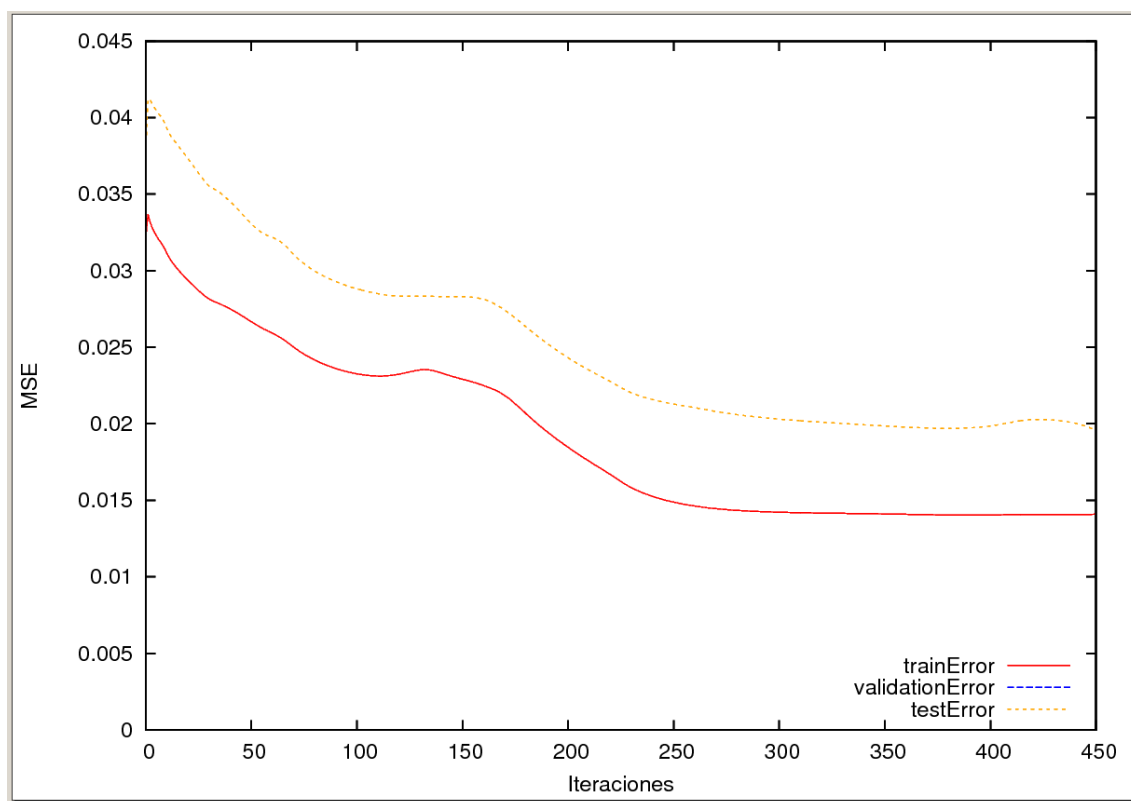


Ilustración 22 Dataset SIN con 2 capas ocultas de 64 nodos en 1000 iteraciones.

Se observa en la **Ilustración 21** que durante todo el segmento de iteraciones los valores de errores van disminuyendo muy lentamente donde se ve que en unos 780 encuentra el mínimo y poco después el algoritmo corta la ejecución por no permitir peores resultados. Sin embargo, en la **Ilustración 22** la convergencia se encuentra prematuramente a unas 300 iteraciones, los resultados obtenidos en este algoritmo con la ejecución de la **Ilustración 22** son algo mejores que los de la **Ilustración 21**.

En este dataset no se han conseguido mejorar los resultados finales mediante los valores de decremento ni de validación, aunque con algunas de las configuraciones si ha sido posible bajar hasta las 270 iteraciones en el caso de 2 capas ocultas y 32 nodos.

Entre las **Ilustraciones 21 y 22** no es una mejora muy apreciable y habría que ver si es conveniente en otros problemas elegir una u otra configuración pues puede que calcular iteraciones de algún otro problema de entrada sea muy costoso en unidades de tiempo y no sea rentable esas iteraciones de más para una mejora inapreciable.

5. Análisis del modelo de red neuronal obtenido para el problema del XOR

Este problema se puede representar con una red neuronal perceptrón multicapa como el de la **Ilustración 23**, donde se han usado dos entradas una capa oculta con 3 neuronas y una capa de salida.

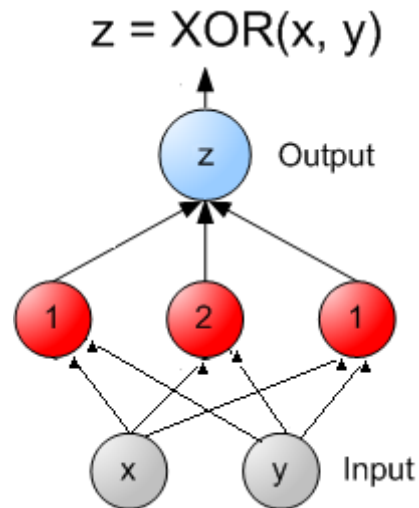


Ilustración 23 Perceptrón Multicapa para XOR

Valor de los pesos:

PESOS DE LA RED

=====

-----Capa(1)-----

Neurona 1: [0.722832] [-0.55786]

Neurona 2: [-3.27833] [-3.03185]

Neurona 3: [-3.42398] [3.45565]

-----Capa(2)-----

Neurona 1: [2.40079] [-0.258265] [-4.59155]

Ilustración 24 Valores de los pesos de la red neuronal XOR de la Ilustración 23

ENTRADAS DE LA RED

=====

1--> 1 -1 1

2-->-1 -1 0

3-->-1 1 1

4--> 1 1 0

Ilustración 25 Valores de las entradas de la red neuronal XOR de la Ilustración 23

Salida Esperada Vs Salida Obtenida (test)

=====

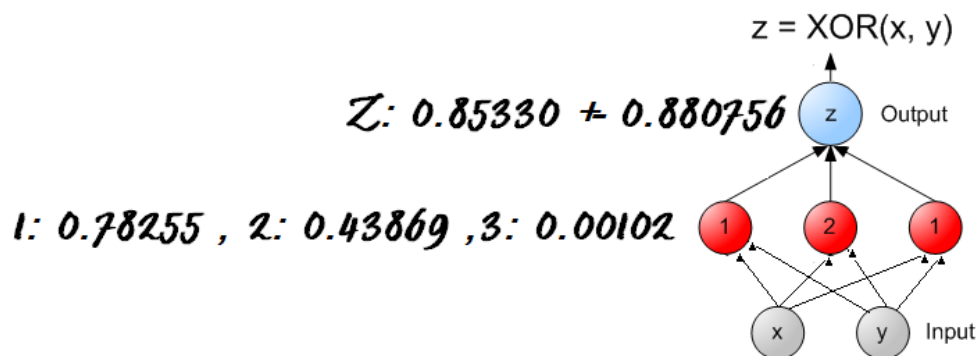
1 -- 0.880756

0 -- 0.111779

1 -- 0.869005

0 -- 0.117383

Ilustración 26 Valores de las salidas esperadas y obtenidas de la red neuronal XOR de la Ilustración 23



*Ilustración 27 Valores calculados de la red neuronal XOR de la Ilustración 23 para el patrón de entrada
 $\text{XOR}(x, y) = \text{XOR}(1-1) = 0.85330$*

Los valores de la **Ilustración 27** a la hora de calcular la propagación de las entradas se han tenido en cuenta 4 decimales por eso es la variación de **0.85330** a **0.880756**.

6. Conclusiones

El Perceptrón multicapa es una red neuronal artificial que tiene conexiones con las siguientes capas de la red, donde este tipo de redes realiza aproximaciones que son combinaciones lineales de múltiples funciones no lineales.

Estas redes se pueden implementar en el día a día en ámbitos como análisis de imágenes, reconocimiento de la voz, diagnósticos médicos, regresión.

Aunque el Perceptrón multicapa es muy polivalente y una de las mas usadas en la actualidad no es necesariamente la mas potente ni la mejor ya que tiene algunas limitaciones como suele ser el proceso de aprendizaje para ciertos problemas complejos.

En la practica hemos visto que el ajuste a los problemas dado ha sido mejor de lo esperado y que incluso en algunos de usar una red simple hemos usado algún parámetro que ha logrado hacer converger más rápido el algoritmo o mejorar la puntuación final de la función objetivo, que es la del mejor ajuste para todos los patrones de entrada de cada uno de los dataset usados.

Es realmente relevante saber realizar estudios de diferentes valores para las capas, nodos y parámetros para los diferentes problemas ya que esto es determinante para el resultado final del problema y sobre todo para el coste computacional que es necesario para ciertos parámetros.

7. Índice de ilustraciones

ILUSTRACIÓN 1 EJEMPLO PERCEPTRÓN MULTICAPA CON SOLO UNA CAPA OCULTA	3
ILUSTRACIÓN 2 FUNCIÓN SIGMOIDE DE ACTIVACIÓN	3
ILUSTRACIÓN 3 PSEUDOCÓDIGO ALGORITMO DE RETRO PROPAGACIÓN DEL ERROR	4
ILUSTRACIÓN 4 PSEUDOCÓDIGO INICIAR PESOS ALEATORIOS	4
ILUSTRACIÓN 5 PSEUDOCÓDIGO ALIMENTAR ENTRADAS	5
ILUSTRACIÓN 6 PSEUDOCÓDIGO PROPAGAR ENTRADAS	5
ILUSTRACIÓN 7 PSEUDOCÓDIGO RETRO PROPAGAR ERROR	6
ILUSTRACIÓN 8 PSEUDOCÓDIGO ACUMULAR CAMBIO	6
ILUSTRACIÓN 9 PSEUDOCÓDIGO AJUSTAR PESOS	7
ILUSTRACIÓN 10 DATOS DEL DATASET XOR	9
ILUSTRACIÓN 11 DATASET XOR CON 1 CAPA OCULTA DE 8 NODOS EN 1000 ITERACIONES.	10
ILUSTRACIÓN 12 DATASET XOR CON 2 CAPAS OCULTA DE 8 NODOS EN 1000 ITERACIONES.	10
ILUSTRACIÓN 13 DATOS DEL DATASET PARKINSON	11
ILUSTRACIÓN 14 DATASET PARKINSON CON 1 CAPA OCULTA DE 32 NODOS EN 1000 ITERACIONES.	12
ILUSTRACIÓN 15 DATASET PARKINSON CON 2 CAPAS OCULTAS DE 8 NODOS EN 1000 ITERACIONES.	12
ILUSTRACIÓN 16 DATASET PARKINSON CON 1 CAPA OCULTA DE 32 NODOS CON 0.15 DE VALIDACIÓN EN 1000 ITERACIONES	13
ILUSTRACIÓN 17 DATOS DEL DATASET QUAKE	14
ILUSTRACIÓN 18 DATASET QUAKE CON 1 CAPA OCULTA DE 32 NODOS EN 1000 ITERACIONES.	14
ILUSTRACIÓN 19 DATASET QUAKE CON 2 CAPAS OCULTAS DE 64 NODOS EN 1000 ITERACIONES.	15
ILUSTRACIÓN 20 DATOS DEL DATASET SIN	16
ILUSTRACIÓN 21 DATASET SIN CON 1 CAPA OCULTA DE 64 NODOS EN 1000 ITERACIONES.	16
ILUSTRACIÓN 22 DATASET SIN CON 2 CAPAS OCULTAS DE 64 NODOS EN 1000 ITERACIONES.	17
ILUSTRACIÓN 23 PERCEPTRÓN MULTICAPA PARA XOR	18
ILUSTRACIÓN 24 VALORES DE LOS PESOS DE LA RED NEURONAL XOR DE LA ILUSTRACIÓN 23	18
ILUSTRACIÓN 25 VALORES DE LAS ENTRADAS DE LA RED NEURONAL XOR DE LA ILUSTRACIÓN 23	19
ILUSTRACIÓN 26 VALORES DE LAS SALIDAS ESPERADAS Y OBTENIDAS DE LA RED NEURONAL XOR DE LA ILUSTRACIÓN 23	19